

УДК 678:539.4

Нешпор А.В., Вишняков Л.Р., Мазная А.В.

Институт проблем материаловедения им. И.Н. Францевича НАН Украины. Киев

УДАРОПРОЧНЫЕ СЛОИСТЫЕ ПОЛИМЕРНЫЕ КОМПОЗИЦИОННЫЕ МАТЕРИАЛЫ

Анотация

Досліджені механізми руйнування полімерних композиційних матеріалів на основі арамідних тканин. Визначено, що особливості руйнування ПКМ залежать від типу зв'язуючого. Для композитів з термопластичною матрицею характерно фібрілярне розшарування волокон, а для високоміцних ПКМ на термореактивному зв'язуючому – руйнування композиту в цілому. Показано, що для підвищення стійкості до ударного навантаження та зниження позадірокодної деформації доцільно використання градієнтних полімерних композитів.

Abstract

Fracture mechanisms in polymer composite materials based on aramide fibers have been studied. The fracture features of PCMs have been found to be in dependence on the type of binder. For composites with thermal plastic matrix, a fibrillar delamination of fibers is characteristic, and for high strength PCMs with thermal reaction binder, a destruction of the composite as a whole is observed. It was shown that gradient polymer composites might be preferably used to increase the impact load resistance and decrease the after-backing deformation.

Армированные волокнами полимерные композиционные материалы (ПКМ) широко используются в технике в качестве конструкционных материалов, в том числе ударопрочных. Важными показателями таких ПКМ являются низкая плотность, повышенные удельная прочность и модуль упругости, возможность снижения материоемкости изделий.

В качестве армирующего волокнистого наполнителя ударостойких ПКМ чаще всего используют высокомодульные арамидные, полиэтиленовые, стеклянные волокна, а также волокна на основе ароматических полиэфиров и другие [1]. Среди перечисленных волокон наибольшее практическое значение приобрели органические высокопрочные высокомодульные волокна, которые применяют в защитных изделия от динамического удара и, в частности, арамидные волокна и ткани: Kevlar ("Dupont"), Tvaron ("Akzo Nobel") и СВМ (Россия). В качестве связующих ударопрочных ПКМ используют эпоксидные, фенолоформальдегидные, полиамидные и другие смолы, а также эфиры поливинилового спирта (поливинилбутират, поливинилбутират), а также каучуки и полиуретановые матрицы, которые также обладают высокими вибропоглощающими способностями.

Известно, что состав, структура, определенное чередование слоев и адгезионное взаимодействие составляющих ПКМ на межфазных границах существенно влияют на эксплуатационные ха-

теристики ударозащитных конструкций [2]. Поэтому с целью более полной реализации свойств волокнистого наполнителя и прогнозирования поведения композитов в условиях эксплуатации в последнее время все больше внимания уделяется исследованию особенностей и механизмов разрушения ПКМ. Например, в работах [3–6] наиболее полно были изучены закономерности разрушения ПКМ на основе стеклянных и углеродных волокон, для которых характерно разрушение по границе раздела волокно-матрица или непосредственно по материалу матрицы. Следует также учесть, что высокомодульные органические волокна обладают высокой анизотропией свойств, которая во многом определяет особенности поведения ПКМ в процессах эксплуатации.

В настоящей работе для исследования особенностей разрушения в результате действия импульсных нагрузок были выбраны образцы ПКМ на основе арамидных тканей типов ТСВМ и Кевлар и нескольких видов связующих – фенолоформальдегидного (лак ЛБС-1) и термопластичного – поливинилбутираля (ПВБ) и полипропилена (ПП).

В результате исследования образцов методом оптической микроскопии было установлено, что при импульсных нагрузках для ПКМ с различными связующими наблюдается разный характер разрушения. На рис. 1 показана зона разрушения композитов на основе арамидных тканей ТСВМ (а) и Кевлар (б) с фенолоформальдегидным связующим.

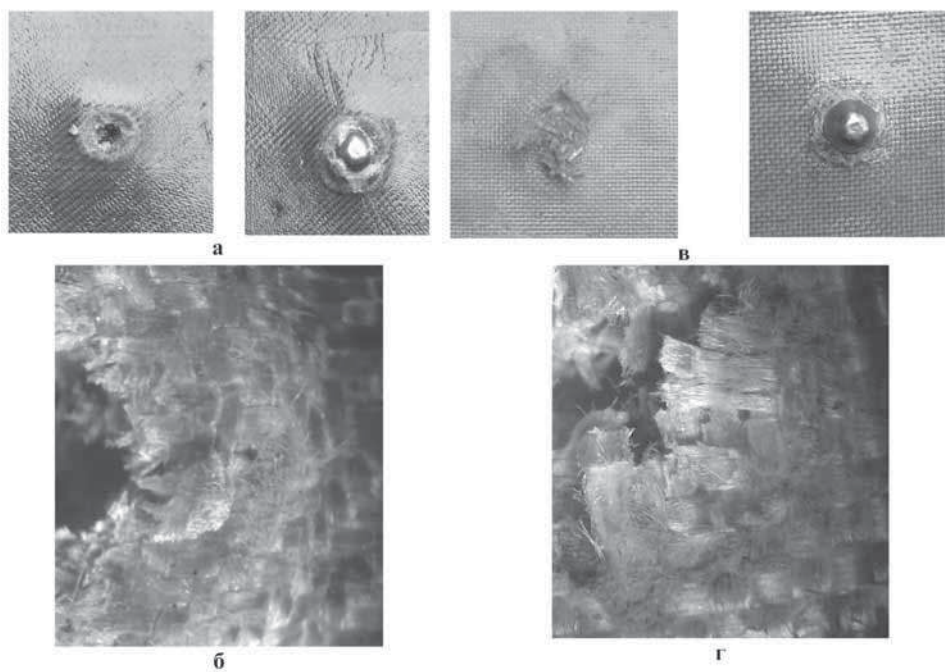


Рис. 1. Разрушение под действием индентора композитов на основе фенолоформальдегидного связующего и арамидных тканей:

а – ТСВМ (фронтальная и тыльная стороны), б – увеличенное изображение;
в – Кевлар (фронтальная и тыльная стороны), г – увеличенное изображение

Было установлено, что независимо от вида армирующей ткани композиты имеют похожий характер разрушения. При этом зона разрушения локализована непосредственно в месте действия высокоскоростного индентора. Наблюдается также незначительное нарушение текстуры ткани (ориентации волокон), в зоне разрушения волокна оказались оборванными (срезанными) без характерной фибрillationи есть участки сплавления волокон между собой с образованием фрагментов разной формы и размеров. Это может свидетельствовать о возможном химическом взаимодействии арамидных волокон с термореактивным связующим [1] и подтверждает адгезионный характер разрушении по границе волокно-матрица, что характерно для пластиков на основе волокон СВМ [7].

Разрушение композитов на основе термопластичных связующих отличается от выше описанного и имеет другой характер. Так, под действием индентора при испытании ПКМ со связующим из поливинилбутираля, нити основы и утка вытягиваются, при этом наблюдается протяженная зона со структурой ткани отличающейся от первоначальной, а также происходит нарушение ориентации волокон. Заметим, что с тыльной стороны этих образцов ткань расслаивается на пучки нитей различной длины и степени фибрillationи (рис. 2), что свидетельствует о слабой адгезии волокон к матрице.

Таким образом, в отличие от ПКМ с термореактивным связующим, разрушение ПКМ на основе термопластичного связующего сопровождается характерным расслоением на отдельные нити или группы нитей, в которых происходит также фибрillationи самих волокон. При этом интенсивность процесса фибрillationи волокон зависит от содержания связующего и становится более заметной в ПКМ, когда объемная доля связующего невелика (рис. 3).

Следует отметить, что количество нитей в пучке, которые вытягиваются под действием индентора, и размеры зоны деформации с нарушенной структурой увеличиваются, если при одинаковом содержании связующего пористость образцов повышена (рис. 4). Отметим, что подобный эффект влияния пористости на зону деформации образца описан также в работе [8].

Было установлено, что увеличение плотности ПКМ хоть и приводит к локализации зоны разрушения и уменьшению деформированного объема, однако при этом образуются менее выгодные схемы напряженного состояния, и в результате — снижается ударная стойкость материала.

Таким образом, если главной особенностью разрушения арамидных волокон в композите с термопластичной матрицей является процесс фибрильярного расслоения отдельных волокон, то для высокопрочных материалов на основе термореактивного связующего определяющим является разрушение композита в целом.

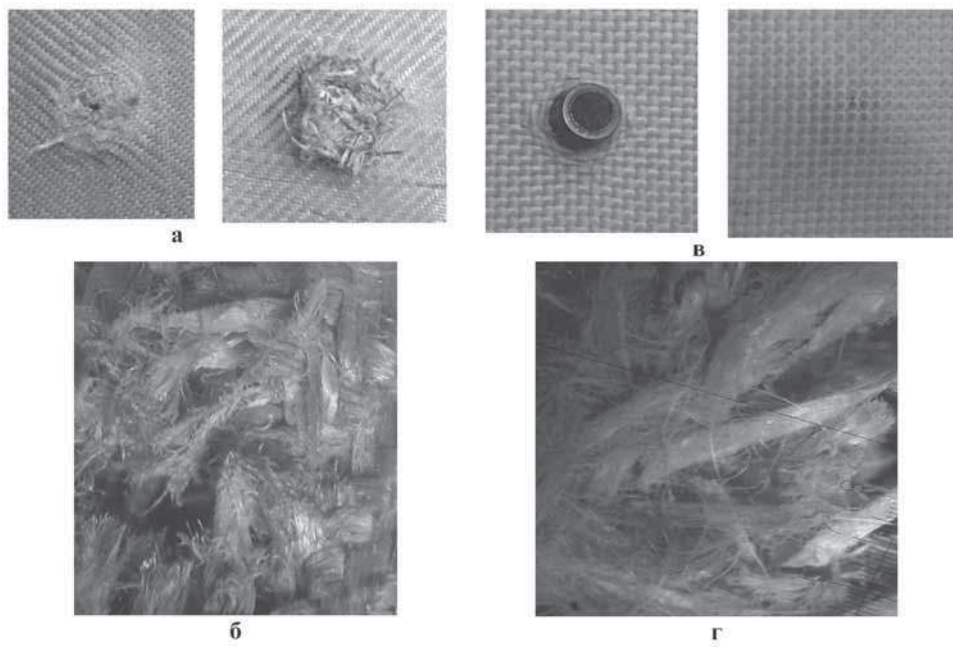


Рис. 2. Разрушение под действием индентора композитов на основе связующего ПВБ и арамидных тканей:

а — ТСВМ (фронтальная и тыльная стороны), в — увеличенное изображение;
б — Кевлар (фронтальная и тыльная стороны), г — увеличенное изображение



Рис. 3. Разрушение ПКМ Кевлар-ПП с различным содержанием связующего:
а – 35%; б – 26%, в – 19%

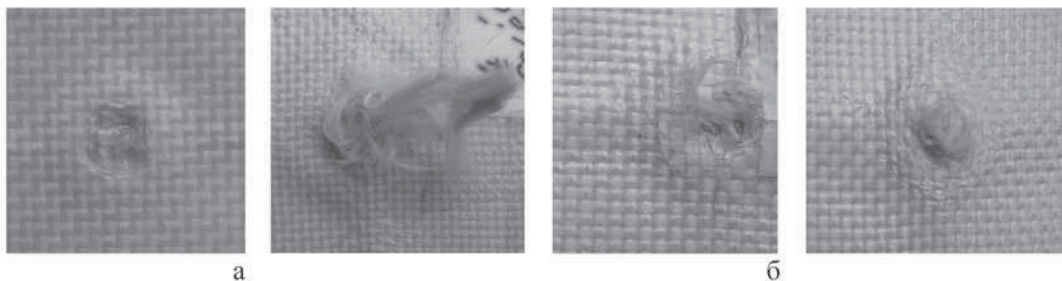


Рис. 4. Разрушение ПКМ на основе Кевлара и ПП:
а – пористость 28%, б – пористость 4,8%

Результаты приведенных исследований позволили учсть особенности разрушения ПКМ с различным видом связующего, а также разработать градиентные слоистые композиты, состоящие из "жестких" и "мягких" слоев, за счет использования разных видов связующего – термореактивного или термопластичного, что дает возможность получить схему ПКМ на основе арамидных волокон с большей адаптацией к высокоинтенсивной нагрузке.

Оценку стойкости ПКМ к действию высокоскоростных инденторов проводили на модельных образцах с определением запрерадной деформации, количественной характеристикой которой служил приведенный объем вмятины в поддерживающем образце материяле (в нашем случае, пластилине), который рассчитывался по формуле:

$$V' = V \frac{v_{um}}{v_\theta},$$

где V' – приведенный объем вмятины, см³; V – измеренный объем вмятины, см³; v_{um} – заданная скорость индентора, м/с; v_θ – действительная скорость индентора, м/с.

$$V = \pi h^2 \left(\frac{1}{2} h + \frac{d^2}{8h} - \frac{1}{3} h \right),$$

где h – глубина вмятины, см; d – диаметр вмятины, см.

Результаты испытаний ПКМ с разными видами полимерных матриц показаны в таблице 1.

Из таблицы видно, что наименьшую запрерадную деформацию в наших экспериментах имеют модельные образцы в которых были использовано термопластичное связующее (ПВБ и ПВБ+ФФС). Исходя из полученных результатов, можно предположить, что подобные полимеры целесообразно использовать для изготовления в ПКМ "мягкого" демпферного слоя. В тоже время для реализации жесткого высокопрочного слоя лучшие характеристики показали композиты на основе термореактивных связующих. При этом прочность ПКМ, в которых армирующей тканью является ТСВМ (~380 МПа) оказалось выше, чем прочность ПКМ на основе Кевлара (~150 МПа).

Влияние пористости ПКМ на ударопрочность при высокоскоростном нагружении определяли на образцах, в которых фронтальный и тыльные слои имели различную пористость. В образцах первой группы на основе ткани Кевлар с фенолоформальдегидным связующим пористость фронтального и тыльного слоев составила 8% и 18%, соответственно, при одинаковой толщине слоев (5 мм). Для образцов второй группы на основе

Таблица 1

Стойкость ПКМ к действию импульсной нагрузки в зависимости от типа связующего

Армирующая ткань	Связующее	Глубина вмятины, см	Диаметр вмятины, см	Скорость индентора, м/с	Приведенный объем вмятины, см ³
ПКМ с термопластичной матрицей					
Кевлар	ПП	1,0	5,5	320	12,2
Кевлар	ПЭ	1,7	6,5	319	30,4
	ПВБ+ФФС	0,7	4,0	311	4,6
TCBM	ПВБ	1,5	5,5	314	16,6
Кевлар	ПВБ	0,9	3,0	320	3,5
ПКМ с матрицей из реактопласта					
Кевлар	ЛБС	1,0	3,5	316	5,3
TCBM	ЛБС	0,9	3,5	310	4,8

Примечание: ПП — полипропилен, ПЭ — полиэтилен, ПВБ+ФФС — поливинилбутириаль, модифицированный фенолоформальдегидной смолой, ЛБС — бакелитовый лак

ткани ТСВМ с фенолоформальдегидным связующим пористость этих же слоев составила 5% и 16%, при такой же толщине слоев. Были также испытаны образцы, в которых фронтальный и тыльный слои с указанной пористостью меняли местами. Для сравнения также были испытаны образцы ПКМ на термопластичном связующем (ПВБ, модифицированном фенолоформальдегидной смолой) с одинаковой во фронтальном и тыльном слоях пористостью 42%.

Результаты этих испытаний (рис. 5) показали, что градиентные ПКМ с фронтальным слоем, обладающим меньшей пористостью, чем тыльный слой, имеют меньшие показатели запрерадной деформации, а соответственно, — и лучшую стойкость к действию импульсной нагрузки.

Выводы

1. Основной особенностью разрушения арамидных волокон в композите с термопластичной матрицей является процесс фибрillярного расслоения отдельных волокон, а для высоко-прочных материалов на основе термореактивного связующего определяющим является разрушение композита в целом.

2. ПКМ с фронтальным слоем, обладающим меньшей пористостью, чем тыльный слой, имеют меньшие показатели запрерадной деформации, а соответственно, — и лучшую стойкость к действию импульсной нагрузки.

3. С целью повышения стойкости к высокоскоростному действию индентора и снижения запрерадного действия целесообразно использовать полимерный градиентный слоистый материал, в котором фронтальный слой представляет собой высокоплотный ПКМ на основе термореактивного связующего, а тыльный слой — на основе термопластичного связующего. Исходя из полученных результатов, такое расположение слоев учитывает особенности работы и разрушения ПКМ и способствует сохранению целостности конструкции.

Авторы выражают благодарность к.т.н. Т.В. Грудиной и м.н.с. В.Н. Морозовой за участие в изготовлении образцов полимерных композитов.

Литература

- Перепелкин К.Е. Полимерные волокнистые композиты, их основные виды, принципы получения и свойства. Часть 1. Основные компоненты волокнистых композитов, их взаимодействие и взаимовлияние//Химические волокна, 2005. — № 4. — С. 7–22.
- Вишняков Л.Р., Мазна О.В., Нешпор О.В., Коханий В.О., Олексюк О.Н. Дослідження конст-

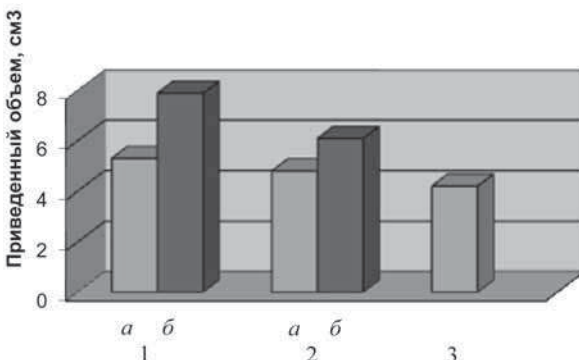


Рис. 5. Запрерадная деформация в зависимости от пористости и расположения слоев по отношению к индентору:

- образцы первой группы Кевлар - ЛБС с пористостью:
a) 8% – 18%; б) 18% – 8%;
- образцы второй группы ТСВМ с пористостью:
a) 5% – 16%; б) 16% – 5%;
- образцы на основе ТСВМ с термопластичным связующим ПВБ + ЛБС с пористостью 42%

руктивно-технологічних факторів для розробки високоенергетичких бронеелементів на основі кераміки// Проблемы прочности, 2004. — № 6. — С. 43–46.

3. *J.E.L. da Silva, S. Paciornik, J.R.M. d'Almeida.* Determination of the post-ballistic impact mechanical behavior of a $\pm 45^\circ$ glass-fabric composite/Polymer Testing, 2004. — V. 23. — P. 599–604.

4. *L.M. Nunes, S. Paciornik, J.R.M. d'Almeida.* Evaluation of the damaged area of glass-fiber-reinforced epoxy-matrix composite materials submitted to ballistic impacts/Composites Science and Technology, 2004. — V. 64. — P. 945–954.

5. *Fisher S.* An experimental and theoretical investigation of the strains developed in a unidirectional

Aramid fibre composite beam/J. of Materials Science Letters, 1985. — V.4. — P. 659–661.

6. *N.K. Naik, P. Shrira, B.C.K. Reddy.* Ballistic impact behaviour of woven fabric composites/International Journal of Impact Engineering, 2006. — V. 32. — № 9. — P. 1521–1552.

7. *Кузьмин В.Н., Андреев А.С., Добровольская И.П.* и др. Особенности разрушения композиционных материалов на основе арамидных волокон/Механика композиционных материалов на основе арамидных волокон, 1985. — № 4. — С. 736–738.

8. *Скляров Н.М., Кобец Л.П., Деев И.С., Мостовой Г.Е.* Особенности баллистической стойкости тканевой брони/Пластические массы, 2003. — № 10. — С. 8–14.